

doubly-chargedスカラーを含む模型における ニュートリノレス二重ベータ崩壊と ミューオニウム反ミューオニウム転換

T. Fukuyama, Y. Mimura, & YU, PRD**105**, 015026 (2022),
PRD**106**, 055041 (2022).

目次

1. ミューオニウム反ミューオニウム転換 (5ページ)
2. ニュートリノレス二重ベータ崩壊 (4ページ)
3. Zee-Babu模型 (3ページ)
4. Cocktail模型 (2ページ)
5. Zee-Babu + Cocktail模型 (4ページ)
6. まとめ (1ページ)

上坂 優一
九州産業大学

レプトンフレーバー非保存過程

レプトンフレーバー数 3つ: 電子数(L_e), ミュー数(L_μ), タウ数(L_τ)

cf. レプトン数: $L = L_e + L_\mu + L_\tau$

- 前後でレプトンフレーバー数 のいずれかが保存しない過程 = LFV 過程
 ⇒ 荷電レプトンにおける LFV = CLFV (cLFV)

- 標準模型 (SM) の枠組みでレプトンフレーバーは **保存量**

allowed

$$\begin{aligned}\mu^+ &\rightarrow e^+ \nu_e \bar{\nu}_\mu \\ \pi^- &\rightarrow \mu^- \bar{\nu}_\mu\end{aligned}$$

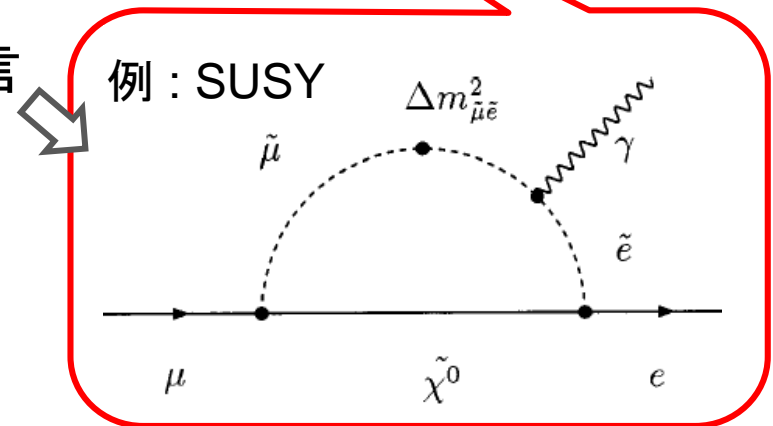
forbidden (CLFV)

$$\begin{aligned}\mu^+ &\rightarrow e^+ \gamma \\ \mu^+ &\rightarrow e^+ e^+ e^-\end{aligned}$$

- 多くの “SMを超える模型” が CLFV を予言
- (ニュートリノ混合の寄与は小)

予想される崩壊分岐比

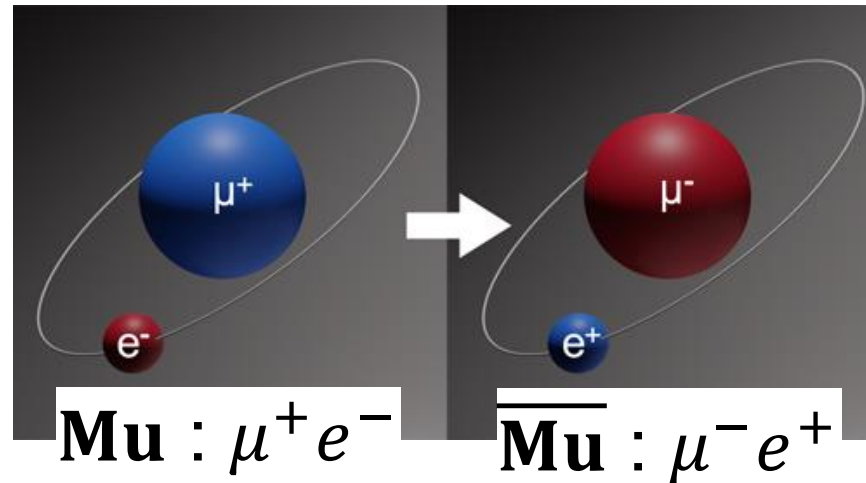
$$\text{Br}(\mu \rightarrow e \gamma) < 10^{-54}$$



- “世代” の発見以降 様々なCLFVモードが探索 (いずれも未発見)

Muonium(Mu)-to-Antimuonium($\overline{\text{Mu}}$) 転換

Pontecorvo (1957), Weinberg & Feinberg (1961).



- $\Delta L_\mu = -\Delta L_e = 2$ でレプトンフレーバーを破る(LFV)過程
 $\Delta L_\mu = -\Delta L_e = \pm 1$ のLFVは $\mu \rightarrow e\gamma$, $\mu \rightarrow 3e$ などで厳しく制限
 \Rightarrow 新粒子がフレーバー数を2つ運ぶ場合には Mu-to- $\overline{\text{Mu}}$ が優勢
- J-PARC (日本, N.Kawamura *et al.*, JPS Conf. Proc. 33, 011120 (2021))
 および CSNS (中国, MACE collab.) で将来実験が計画
 $P < 8.3 \times 10^{-11}$ (PSI) \Rightarrow $\mathcal{O}(10^{-14})$ (CSNS)

有効相互作用

参考: R. Conlin & A. A. Petrov, PRD102, 095001 (2020).

$$-\mathcal{L}_{\text{Mu-Mu}} = \sum_i \frac{G_i}{\sqrt{2}} Q_i$$

G_i : 結合定数

$Q_1 = [\bar{\mu}\gamma_\alpha(1 - \gamma_5)e][\bar{\mu}\gamma^\alpha(1 - \gamma_5)e]$	LL vector
$Q_2 = [\bar{\mu}\gamma_\alpha(1 + \gamma_5)e][\bar{\mu}\gamma^\alpha(1 + \gamma_5)e]$	RR vector
$Q_3 = [\bar{\mu}\gamma_\alpha(1 - \gamma_5)e][\bar{\mu}\gamma^\alpha(1 + \gamma_5)e]$	LR vector
$Q_4 = [\bar{\mu}(1 - \gamma_5)e][\bar{\mu}(1 - \gamma_5)e]$	LL scalar
$Q_5 = [\bar{\mu}(1 + \gamma_5)e][\bar{\mu}(1 + \gamma_5)e]$	RR scalar

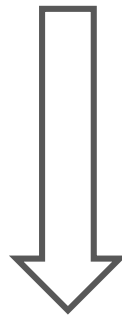
※ 4-Fermi型の演算子は以上で全て (∴ Fierz 恒等式)

現状の制限 (PSI)

磁場 $B = 0.1$ Tesla のもと

$$P < 8.3 \times 10^{-11}$$

L. Willmann *et al.*, PRL**82**, 49 (1999).



(磁場の影響も考慮)

参考: K. Horikawa & K. Sasaki, PRD**53**, 560 (1996),
W. S. Hou & G. G. Wong, PLB**357**, 145 (1995).

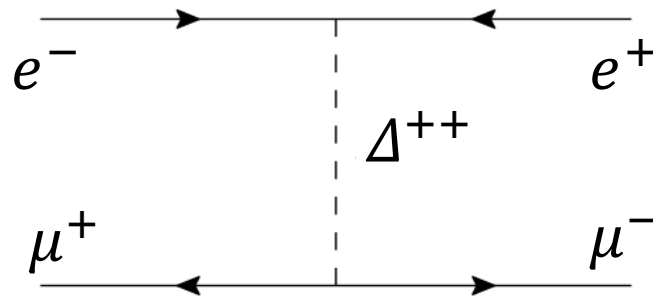
$$G_3 = 0: \left| G_1 + G_2 - \frac{1}{4}G_4 - \frac{1}{4}G_5 \right| < 3.0 \times 10^{-3} G_F$$

$$G_i = 0 \text{ for } i = 1, 2, 4, 5: |G_3| < 2.1 \times 10^{-3} G_F$$

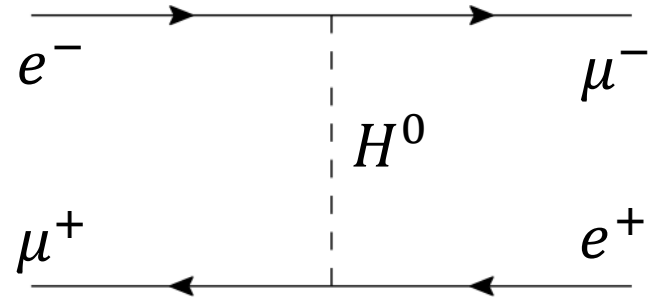
$$\Rightarrow |G_i|/G_F < \mathcal{O}(10^{-3})$$

Mu-to- $\bar{\mu}$ 転換をtreeで出す模型

- Doubly charged



- Neutral



➤ 模型例 (PRD105, 015026 (2022))

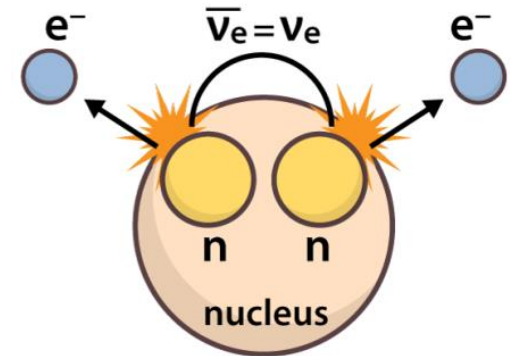
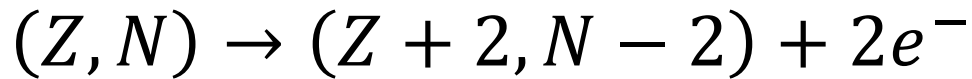
G_i : operator types

Mediator	Model	G_1	G_2	G_3	G_4	G_5
++	Type I + II hybrid seesaw	✓	–	–	–	–
++	Left-right model with $SU(2)_R$ triplet	–	✓	–	–	–
0	Inert Higgs doublet	–	–	✓	△	△
0	R -parity violating SUSY	–	–	✓	–	–
++	Dilepton gauge boson	–	–	✓	–	–
0	Neutral flavor gauge boson	✓	✓	✓	–	–

✓ : $G_i/G_F \sim O(10^{-3})$ is allowed

△ : suppressed by LFV bounds

ニュートリノレス2重 β 崩壊 ($0\nu 2\beta$)



- レプトン数を破る(LNV)過程

⇒ Majoranaニュートリノ質量の検証に有用

- 現状の制限

$$T_{1/2}(^{76}\text{Ge}) > 1.8 \times 10^{26} \text{ years} \quad (\text{GERDA, 2020})$$

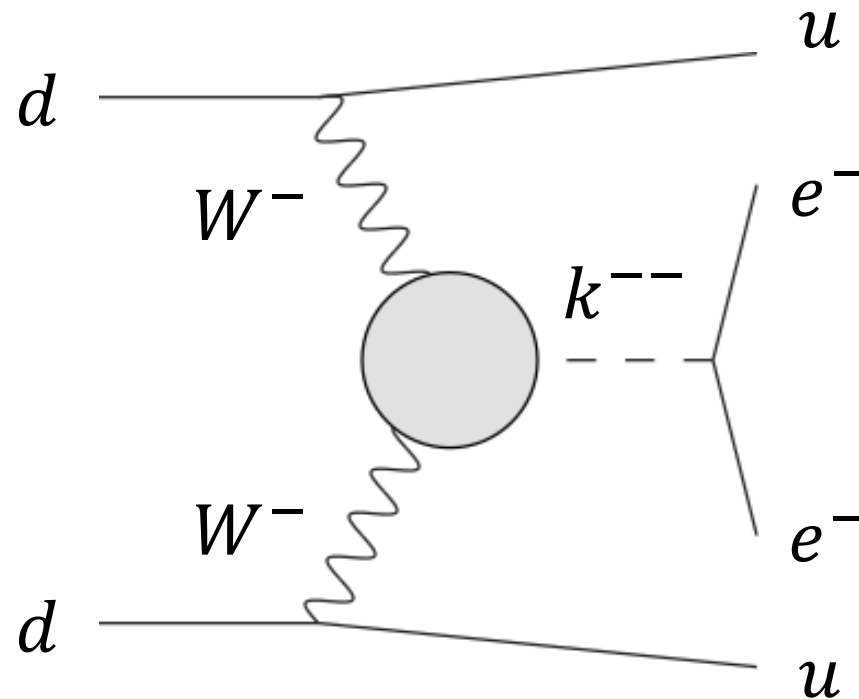
$$T_{1/2}(^{130}\text{Te}) > 2.2 \times 10^{25} \text{ years} \quad (\text{CUORE, 2022})$$

$$T_{1/2}(^{136}\text{Xe}) > 2.3 \times 10^{26} \text{ years} \quad (\text{KamLAND-Zen, 2022})$$

⇒ $m_{ee} < \mathcal{O}(10^{-1}) \text{ eV}$

ニュートリノレス2重 β 崩壊 ($0\nu 2\beta$)

- doubly-chargedスカラーによる寄与



⇒ Mu-to- $\bar{\text{Mu}}$ と共にdoubly-chargedスカラーの検証に有効
 (生成されるMajoranaニュートリノ質量が小さくても $0\nu 2\beta$ が起こり得る)

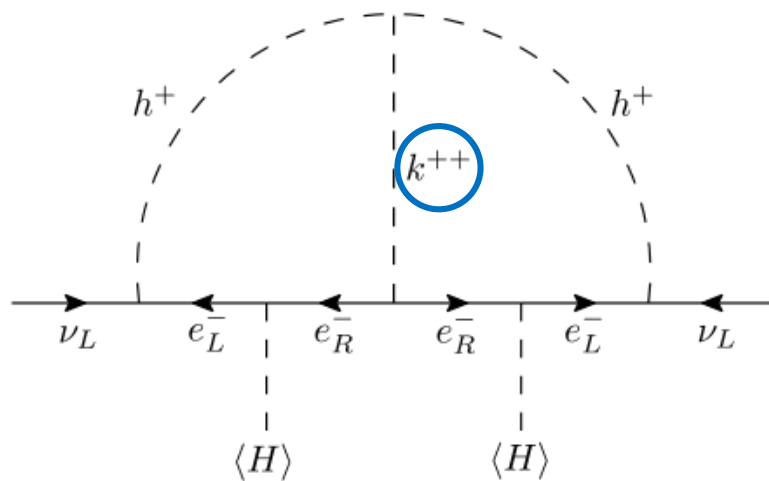
doubly-chargedスカラーを含む ν 質量模型

Model	$ G_1 /G_F$	$ G_2 /G_F$
Type-II seesaw	$\lesssim O(10^{-5})$ (#)	–
Zee-Babu model	–	$\lesssim O(10^{-3})$
Cocktail model	–	$\lesssim O(10^{-5})$

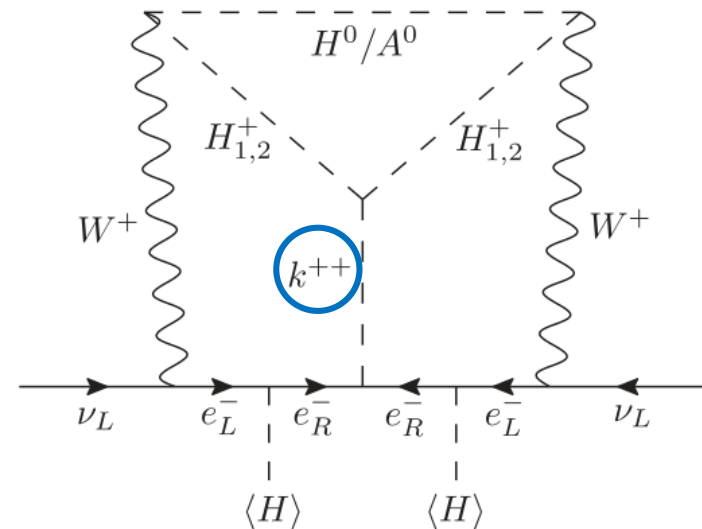
(#) 宇宙論的制限 ($\sum m_\nu < 0.12\text{eV}$) による

➤ radiative ν 質量模型

• Zee-Babu 模型



• Cocktail 模型



$0\nu 2\beta$ in Zee-Babu & cocktail models

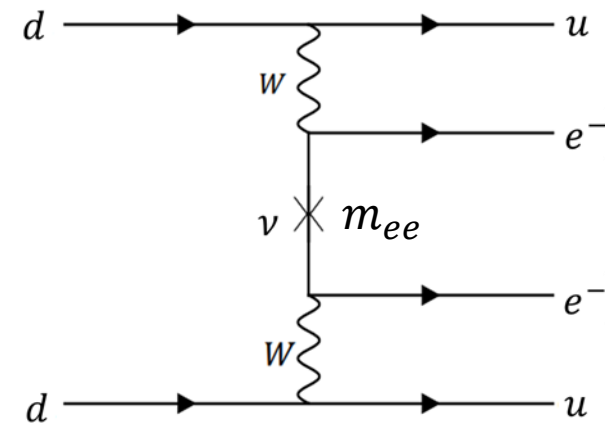
- Zee-Babu模型

Majoranaニュートリノ質量を通じた $0\nu 2\beta$

$m_{ee} \simeq 1-4 \text{ meV} \ll \text{current bound}$

(順階層)

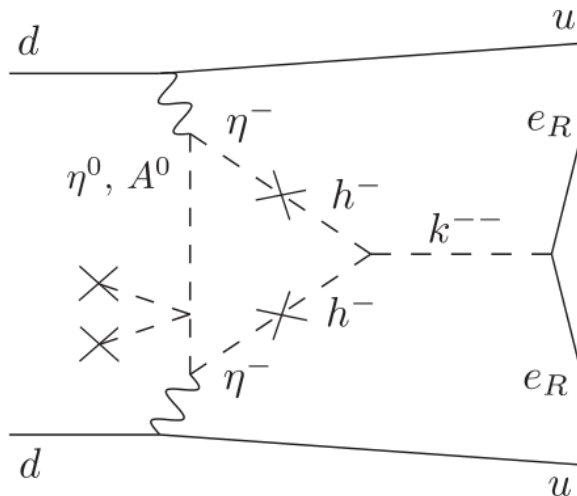
⇒ まだ探索実験で見えない



- cocktail模型

M. Gustafsson, J.M. No & M.A. Rivera, PRD90, 013012 (2014).

“cocktail diagram”を通じた $0\nu 2\beta$

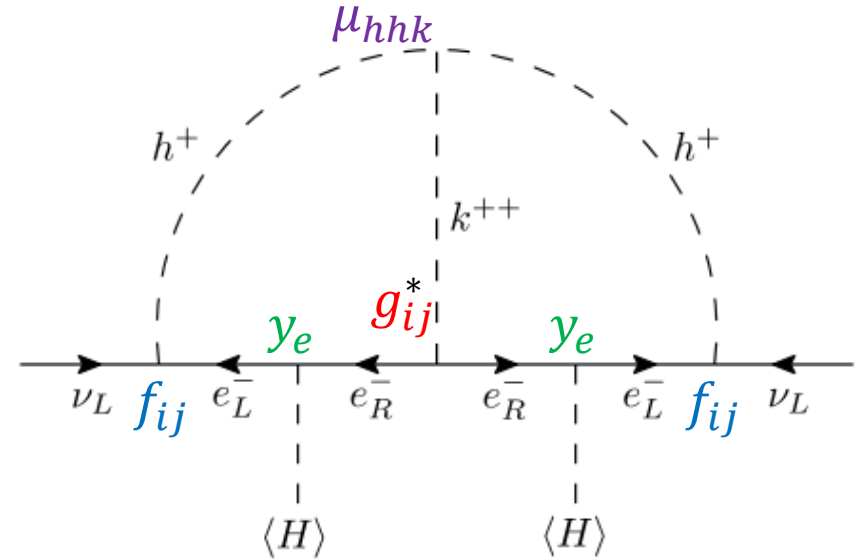


⇒ 探索実験で見える可能性

模型1: Zee-Babu 模型

radiative neutrino mass 模型の一つ

⇒ two-loop で neutrino質量を生成



i, j : flavor index

$$-\mathcal{L} \supset \left(f_{ij} \bar{\ell}_i^c \cdot \ell_j h^+ + g_{ij} \bar{e}_i^c e_j k^{++} + \mu_{hhk} h^+ h^+ k^{--} + h.c. \right)$$

anti-symmetric for i, j

symmetric for i, j

$$+ m_h^2 h^- h^+ + m_k^2 k^{--} k^{++}$$

$$\Rightarrow M_\nu \propto f M_e g^* M_e f^T \quad M_e = \text{diag}(m_e, m_\mu, m_\tau)$$

rank-2 ($m_{\text{lightest}} = 0$) $\because f$ は flavor について anti-symmetric

➤ ニュートリノ質量行列 (質量順階層の場合)

$$M_\nu = U^* \text{diag}(0, m_2, m_3) U^\dagger = \frac{1}{M_0} f M_e g^* M_e f^T$$

U : PMNS行列

$$f = f_0 U^* \begin{pmatrix} 0 & 0 & 0 \\ 0 & 0 & -1 \\ 0 & 1 & 0 \end{pmatrix} U^\dagger$$

$$g^* \propto \frac{1}{f_0^2} M_e^{-1} U \begin{pmatrix} a_1 & a_2 & a_3 \\ a_2 & m_3 & 0 \\ a_3 & 0 & m_2 \end{pmatrix} U^T M_e^{-1}$$

a_1, a_2, a_3 : フリーパラメータ

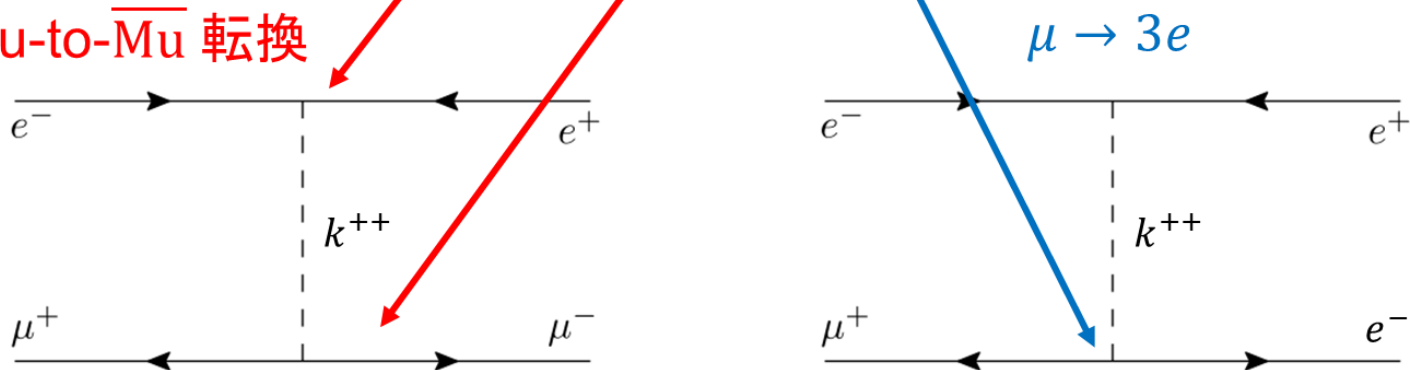
➤ CLFV (tree)

$$-\mathcal{L} \supset g_{ij} \bar{e}_i e_j^c k^{--}$$

$$g = \begin{pmatrix} \mathcal{G}_{ee} & \mathcal{G}_{e\mu} & \mathcal{G}_{e\tau} \\ \mathcal{G}_{e\mu} & \mathcal{G}_{\mu\mu} & \mathcal{G}_{\mu\tau} \\ \mathcal{G}_{e\tau} & \mathcal{G}_{\mu\tau} & \mathcal{G}_{\tau\tau} \end{pmatrix}$$

$\mathcal{G}_{e\tau}$ → $\tau^- \rightarrow e^+ \ell \ell'$
 $\mathcal{G}_{\mu\tau}$ → $\tau^- \rightarrow \mu^+ \ell \ell'$

Mu-to- $\bar{\text{Mu}}$ 転換



⇒ フリーパラメータ a_1, a_2, a_3 を使って CLFVの制限を回避可能

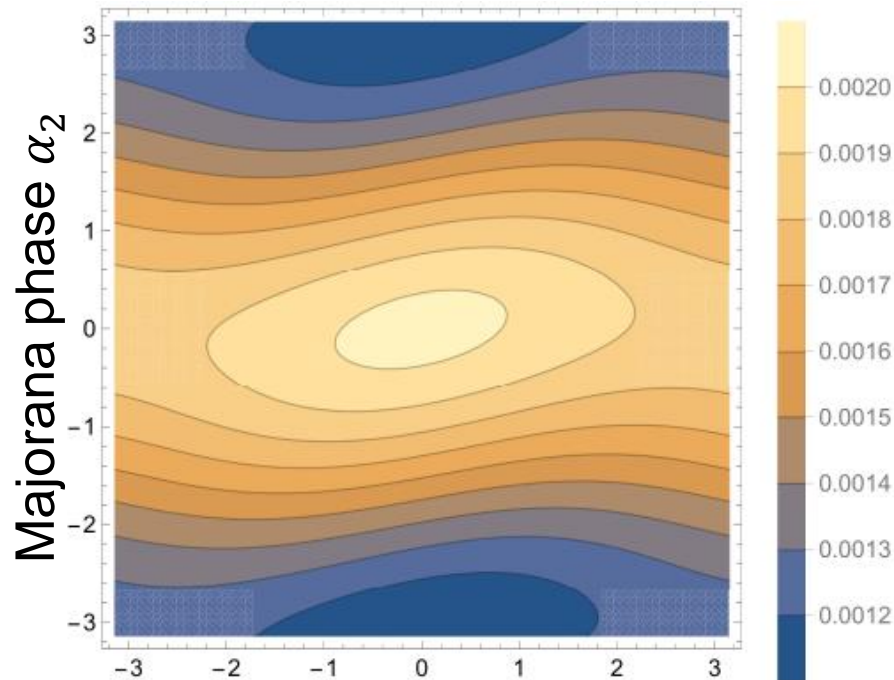
$$g_{ee} = g_{\mu\mu}, g_{e\mu} = g_{e\tau} = 0,$$

$$f_0^2 = 0.002, m_k = 1.2 \text{ TeV}, M_0/(48\pi^2) = 500 \text{ GeV}$$

$$-\mathcal{L} \supset \frac{G_2}{\sqrt{2}} [\bar{\mu}\gamma_\alpha(1 + \gamma_5)e][\bar{\mu}\gamma^\alpha(1 + \gamma_5)e]$$

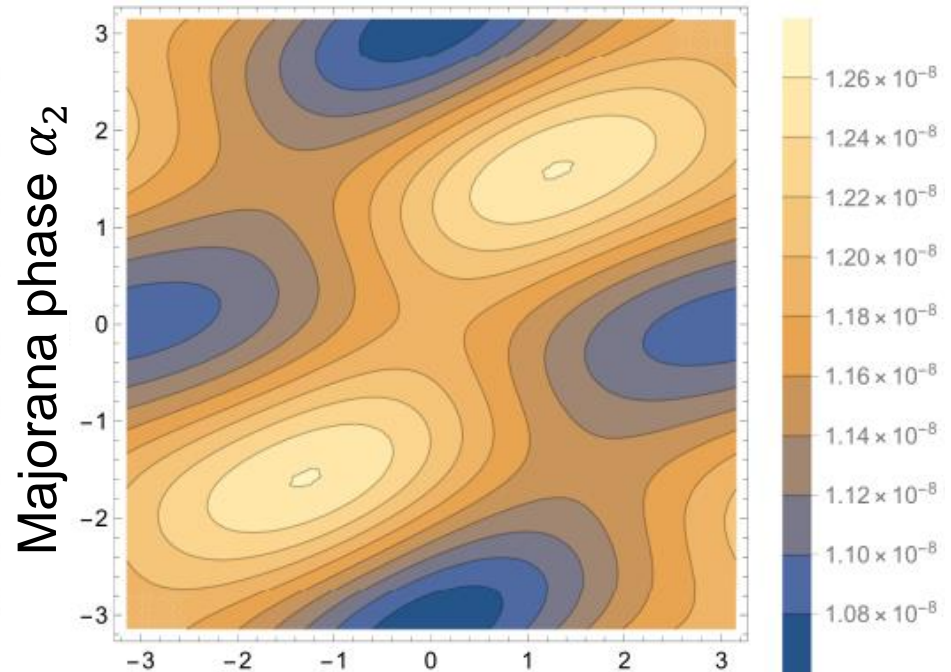
$$|G_2|/G_F$$

$$\text{Br}(\tau \rightarrow 3\mu) = \text{Br}(\tau^- \rightarrow \mu^+ e^- e^-)$$



Dirac phase δ

$$\Rightarrow \frac{G_2}{G_F} \sim \mathcal{O}(10^{-3})$$



Dirac phase δ

$$\Rightarrow \text{Br}(\tau \rightarrow 3\mu) \sim \mathcal{O}(10^{-8})$$

模型2: Cocktail模型

Zee-Babu 模型に inert Higgs doublet η を追加

ただし Zee-Babu 模型と異なり singlet h^+ とレプトンの結合を禁止

⇒ h^+ の loop による $\mu \rightarrow e\gamma$ は禁止
ニュートリノ質量は three-loop で生成

$$\text{cf. } M_\nu^{ZB} \propto f M_e g^* M_e f^T$$

$$M_\nu \propto M_e g M_e$$

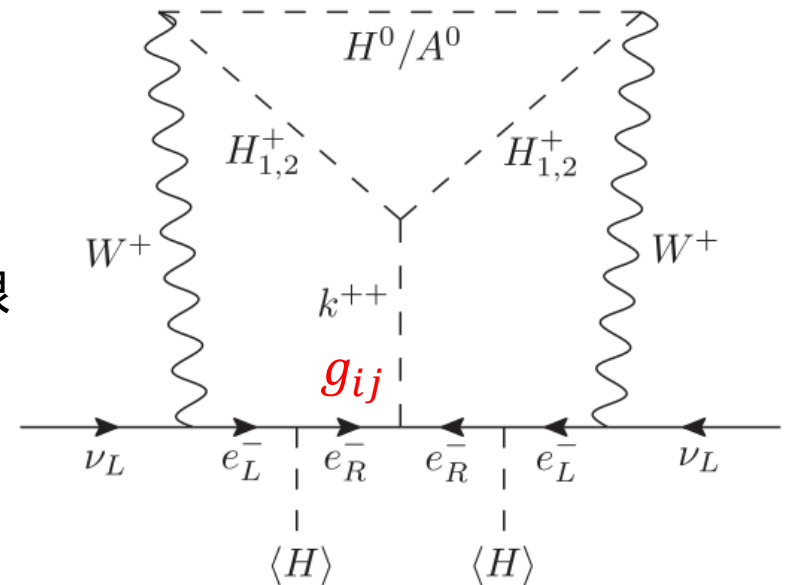
⇒ Zee-Babu 模型よりもパラメータ少

θ_{12}, θ_{13} を作るため $g_{e\tau}$ が必須

↑ LFV探索で制限

⇒ $G_{\text{Mu}-\overline{\text{Mu}}} < 5 \times 10^{-5} G_F$
(Mu-to- $\overline{\text{Mu}}$ 転換を大きくできない)

➤ $0\nu 2\beta$ に cocktail diagram が寄与



$H_{1,2}^+$: mixed state of η^+ & h^+

“hybrid” 模型

$$M_\nu \propto R M_e g M_e + f M_e g^* M_e f^T$$

$R \gg |f f^T|$ (cocktail) $0\nu 2\beta$ 大

$$R \sim |f f^T|$$

Mu-to- $\overline{\text{Mu}}$ 大 $R \ll |f f^T|$ (Zee-Babu)

two-higgs-doublet 模型 + two singlets

		ℓ	e_R	Φ_1	Φ_2	h^+	k^{++}
$SU(2)_L \times U(1)_Y$		$(2, -\frac{1}{2})$	$(1, -1)$	$(2, -\frac{1}{2})$	$(2, -\frac{1}{2})$	$(1, 1)$	$(1, 2)$
Type I/Y	Z ₂ -charge A	+	+	-	+	-	+
Type II/X		+	-	-	+	-	+
Type I/Y	Z ₂ -charge B	+	+	-	+	+	+
Type II/X		+	-	-	+	+	+

(1) Z₂-charge A: Liu-Gu 模型

Z. Liu & P.-H. Gu, NPB915 (2017) 206.

$\ell\ell h^+$ 禁止 $\Phi_1\Phi_2 h^+$ 許可 \Rightarrow $M_\nu \propto M_e g M_e$

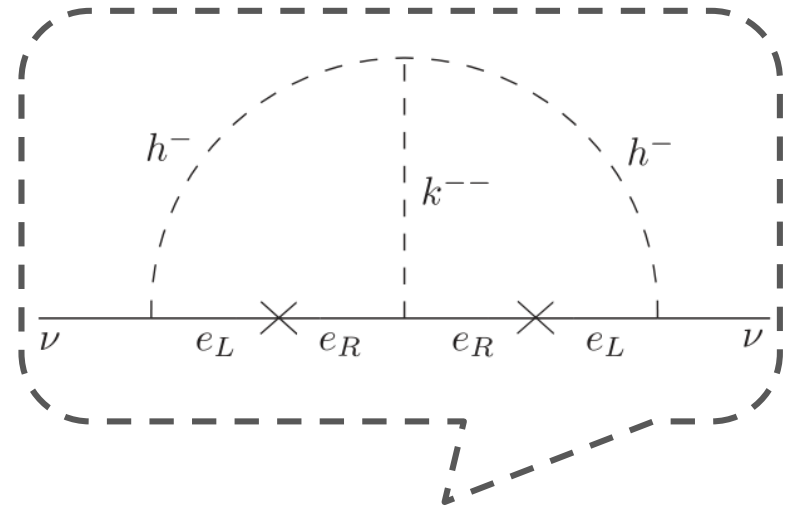
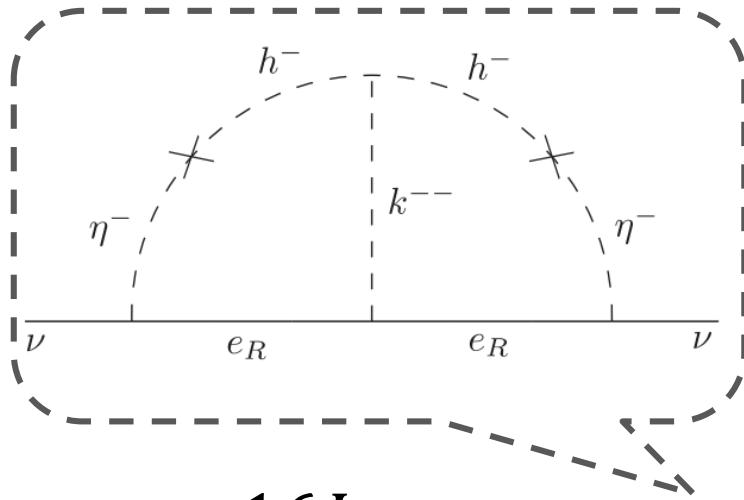
(charged higgs η^+ とレプトンの湯川結合をなくすと cocktail模型に帰着)

(2) Z₂-charge B: Zee-Babu 模型

$\ell\ell h^+$ 許可 $\Phi_1\Phi_2 h^+$ 禁止 \Rightarrow $M_\nu \propto f M_e g^* M_e f^T$

- ✓ Z₂-charge B に $\Phi_1\Phi_2 h^+$ 項を soft-breaking 項として加えて
A と B の hybrid を考えることができる

Neutrino mass



$$M_\nu = \frac{16L_{ZB}m_{hhk}}{m_k^2} (RM_e g M_e + f M_e g^* M_e f^T)$$

$$R = \frac{r^2 s_{2\phi}^2 m_k^2 L_{LG}}{16v^2 L_{ZB}}$$

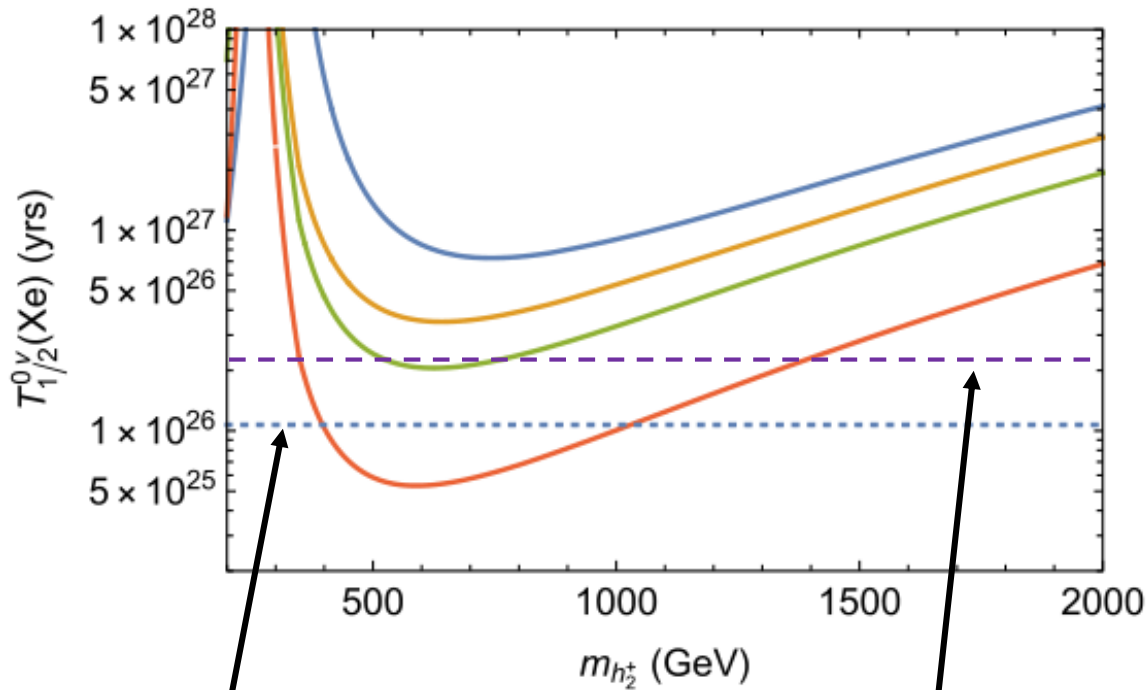
L_{LG}, L_{ZB} : loop functions

$$r = \begin{cases} -\cot\beta & \text{for type I/Y} \\ \tan\beta & \text{for type II/X} \end{cases}$$

$$\begin{pmatrix} h_1^+ \\ h_2^+ \end{pmatrix} = \begin{pmatrix} c_\phi & s_\phi \\ s_\phi & c_\phi \end{pmatrix} \begin{pmatrix} \eta^+ \\ h^+ \end{pmatrix}$$

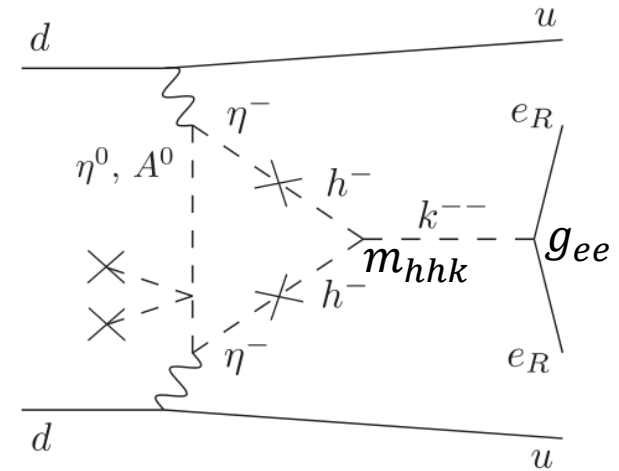
$0\nu 2\beta$ by cocktail diagram

$$g_{ee} = 0.3 \quad m_k^2/m_{hhk} = 1 \text{ TeV}$$



bound from KamLAND-Zen (2016)

(2022)



	$m_{h_1^+}$	m_H
1	300 GeV	450 GeV
2	250 GeV	450 GeV
3	250 GeV	400 GeV
4	250 GeV	300 GeV

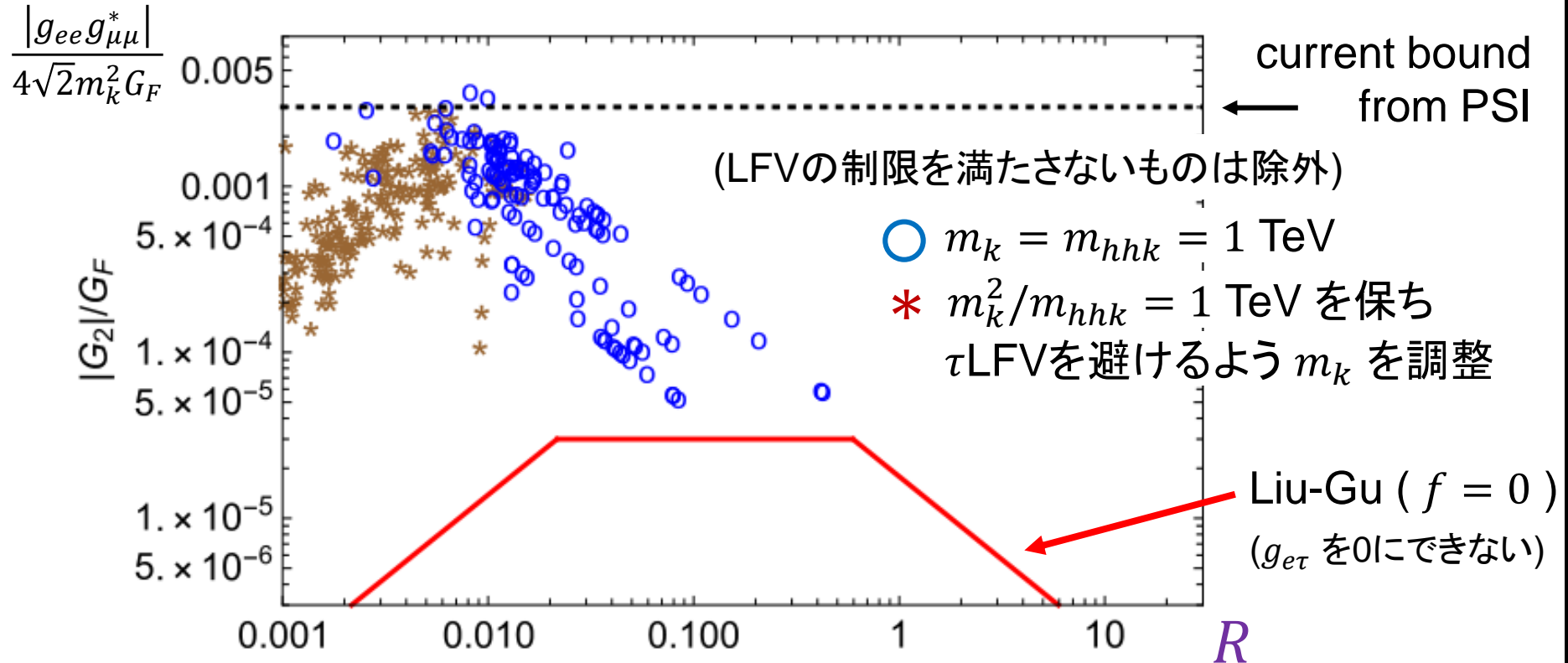
(m_A は $m_H^2 - m_A^2 \simeq v^2$
となるよう選択)

結果: Mu-to- $\overline{\text{Mu}}$ vs. R

$$M_\nu \propto R M_e g M_e + f M_e g^* M_e f^T$$

$$g_{ee} = 0.3 \quad m_{h_2^+} = 1 \text{ TeV} \quad L_{ZB} = 2/(16\pi^2)^2 \quad g_{e\mu} = g_{e\tau} = 0$$

⇒ 残りの g_{ij} と f_{ij} (計6個)は ニュートリノ振動パラメータから決定
(データ誤差の範囲でランダムに振る)



まとめ

- radiative neutrino massをdoubly-charged scalarで作る模型について
ミューオニウム-反ミューオニウム転換と $0\nu 2\beta$ の関係を調査
 - ✓ Zee-Babu模型では $\text{Mu-to-}\overline{\text{Mu}}$ 大、 $0\nu 2\beta$ 小
cocktail模型では $\text{Mu-to-}\overline{\text{Mu}}$ 小、 $0\nu 2\beta$ 大
 - ✓ 2HDM + two charged singlets を Z_2 対称性で分類
(soft-breaking項により2つの場合が混ざる)
- $\text{Mu-to-}\overline{\text{Mu}}$ と $0\nu 2\beta$ がよい相補検証に
 - ✓ $R \sim \mathcal{O}(0.001) - \mathcal{O}(0.1)$ で
 $\text{Mu-to-}\overline{\text{Mu}}$ と $0\nu 2\beta$ が共に現在の制限くらいの大きさになり得る
- left-right模型に議論を拡張することも可能
 - ✓ singly-charged & doubly-charged scalars が $SU(2)_R$ triplet に統合

Backup

Mu-to- $\overline{\text{Mu}}$ 転換

参考: K^0 - \overline{K}^0 混合

静止系かつ真空中での (Mu , $\overline{\text{Mu}}$) の 2×2 Hamiltonian

$$\mathcal{M} = M - \frac{i}{2} \Gamma$$

エルミート部分 (質量項) \swarrow \searrow 反エルミート部分 (吸収項)

$$M = \begin{pmatrix} M_{11} & M_{12} \\ M_{12}^* & M_{22} \end{pmatrix}$$

$$\Gamma = \begin{pmatrix} \Gamma_{11} & \Gamma_{12} \\ \Gamma_{12}^* & \Gamma_{22} \end{pmatrix}$$

(CPT対称性 $\Rightarrow M_{22} = M_{11}, \Gamma_{22} = \Gamma_{11}$)

 対角要素の縮退 と **小さな新物理** で状態は大きく混合

固有値 $\lambda_+ = \mathcal{M}_{11} + \Delta\mathcal{M} \Rightarrow |\psi_+\rangle \propto |\text{Mu}\rangle + r|\overline{\text{Mu}}\rangle$

$\lambda_- = \mathcal{M}_{11} - \Delta\mathcal{M} \Rightarrow |\psi_-\rangle \propto |\text{Mu}\rangle - r|\overline{\text{Mu}}\rangle$

$$\Delta\mathcal{M} \equiv \sqrt{\mathcal{M}_{12}\mathcal{M}_{21}}$$

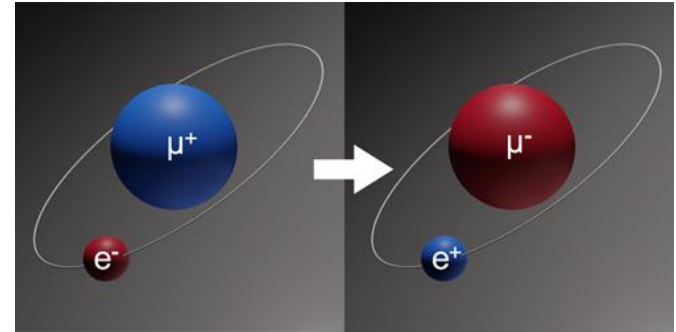
$$r \equiv \sqrt{\mathcal{M}_{21}/\mathcal{M}_{12}}$$

$$|\text{Mu}(t)\rangle = \alpha(t)|\text{Mu}\rangle + \beta(t)|\overline{\text{Mu}}\rangle$$

$$|\text{Mu}(0)\rangle = |\text{Mu}\rangle$$

$$i \frac{\partial}{\partial t} \begin{pmatrix} \alpha \\ \beta \end{pmatrix} = \begin{pmatrix} \mathcal{M}_{11} & \mathcal{M}_{12} \\ \mathcal{M}_{21} & \mathcal{M}_{11} \end{pmatrix} \begin{pmatrix} \alpha \\ \beta \end{pmatrix}$$

時刻 0 \longrightarrow t



\Rightarrow 時刻 t における Mu -to- $\overline{\text{Mu}}$ 転換確率:

$$P(\text{Mu} \rightarrow \overline{\text{Mu}}; t) \sim |\langle \overline{\text{Mu}} | \text{Mu}(t) \rangle|^2 \simeq e^{-\Gamma t} \sin^2 \frac{\Delta M}{2} t$$

\Rightarrow Mu が $\overline{\text{Mu}}$ として崩壊する確率:

$$P(\text{Mu} \rightarrow \overline{\text{Mu}}) = \int_0^{\infty} dt \Gamma P(\text{Mu} \rightarrow \overline{\text{Mu}}; t) = \frac{1}{2} \frac{(\Delta M)^2}{(\Delta M)^2 + \Gamma^2}$$

$$\Delta M \ll \Gamma \rightarrow \simeq \frac{(\Delta M)^2}{2\Gamma^2} = \boxed{2\tau^2 (\Delta M)^2}$$

Γ : Mu 崩壊幅

$\tau = 1/\Gamma$: Mu 寿命 $\simeq 2.2 \mu\text{s}$

ミューオニウムの状態4つ

- ミューオニウムは電子とミューオンのスピンの組み方により4つの状態が微細構造として存在

$\text{Mu}(F, m)$

角運動量の大きさ 角運動量の z 成分

$$(F, m) = \left\{ \begin{array}{l} (1, +1) \\ (1, 0) \\ (1, -1) \\ (0, 0) \end{array} \right\}$$

triplet (ortho)
singlet (para)

$$E(\text{Mu}; 1, 0) = E(\text{Mu}; 1, \pm 1) = E_0 + \frac{a}{4}$$
$$E(\text{Mu}; 0, 0) = E_0 - \frac{3}{4}a$$

$a \approx 1.846 \times 10^{-5} \text{ eV}$

➤ Mu-to- $\overline{\text{Mu}}$ 転換確率は ミューオニウム の状態に依存

For the triplet ($F = 1$) states,

$$\mathcal{M}_{1,0} = \mathcal{M}_{1,\pm 1} = \frac{8|\varphi(0)|^2}{\sqrt{2}} \left(G_1 + G_2 + \frac{1}{2} G_3 - \frac{1}{4} G_4 - \frac{1}{4} G_5 \right)$$

For the singlet ($F = 0$) state,

$$\mathcal{M}_{0,0} = \frac{8|\varphi(0)|^2}{\sqrt{2}} \left(G_1 + G_2 - \frac{3}{2} G_3 - \frac{1}{4} G_4 - \frac{1}{4} G_5 \right)$$

$$\varphi(0) = \sqrt{\frac{(m_{\text{red}}\alpha)^3}{\pi}} : \text{overlap of lepton wave functions}$$

➤ 転換確率は **磁場** に依存 (実験室で磁場をかける場合に重要)



- ① $\text{Mu}(1, \pm 1)$ と $\overline{\text{Mu}}(1, \pm 1)$ のエネルギー差が nonzero
- ② $\text{Mu}(1,0)$ と $\text{Mu}(0,0)$ が混合

① $\text{Mu}(1, \pm 1)$ と $\overline{\text{Mu}}(1, \pm 1)$ のエネルギー差がnonzero

磁場 $B\hat{z}$ により $\text{Mu}(1, \pm 1)$ と $\overline{\text{Mu}}(1, \pm 1)$ にエネルギーギャップ ΔE が生成

⇒ 質量行列対角要素の縮退が解け 混合が減少

Mu と $\overline{\text{Mu}}$ のエネルギー差 ΔE を考慮した際の転換確率

$$P(\text{Mu}(1, \pm 1) \rightarrow \overline{\text{Mu}}) = \frac{2\tau^2 |\mathcal{M}_{1, \pm 1}|^2}{1 + (\tau\Delta E)^2}$$

$$\tau\Delta E = 3.8 \times 10^5 \times \frac{B}{\text{Tesla}}$$

∴ μT 以上の磁場で $m = \pm 1$ の寄与は 抑制

cf. 地磁気 30-60 μT

② Mu(1,0) と Mu(0,0) が混合

磁場中における $m = 0$ 状態の遷移振幅

$$\mathcal{M}_{0,0}^B \simeq \frac{1}{2} \left(\mathcal{M}_{0,0} - \mathcal{M}_{1,0} + \frac{\mathcal{M}_{0,0} + \mathcal{M}_{1,0}}{\sqrt{1 + X^2}} \right)$$

$$\mathcal{M}_{1,0}^B \simeq \frac{1}{2} \left(-\mathcal{M}_{0,0} + \mathcal{M}_{1,0} + \frac{\mathcal{M}_{0,0} + \mathcal{M}_{1,0}}{\sqrt{1 + X^2}} \right)$$

$$X = \frac{\mu_B B}{a} \left(g_e + \frac{m_e}{m_\mu} g_\mu \right) \simeq 6.31 \frac{B}{\text{Tesla}}$$

磁場中の転換確率

$$P = 2\tau^2 \left(|c_{0,0}|^2 |\mathcal{M}_{0,0}^B|^2 + |c_{1,0}|^2 |\mathcal{M}_{1,0}^B|^2 + \sum_{m=\pm 1} |c_{1,m}|^2 \frac{|\mathcal{M}_{1,\pm 1}|^2}{1 + (\tau\Delta E)^2} \right)$$

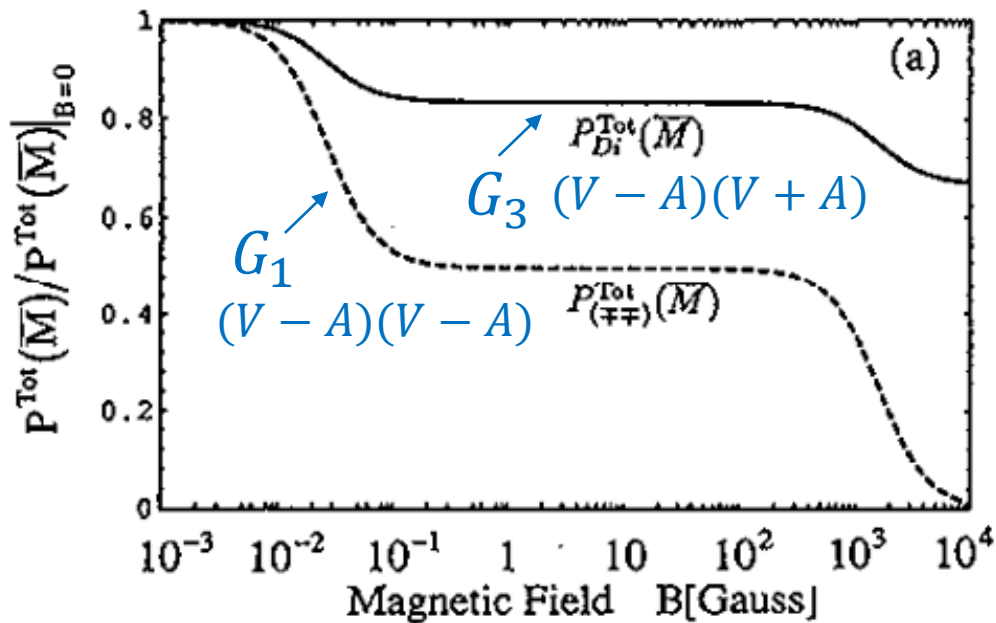
$$|c_{F,m}|^2 : \text{始状態の存在比} \quad \sum_{F,m} |c_{F,m}|^2 = 1$$

遷移確率 vs. 磁場

K.Horikawa & K.Sasaki, PRD53, 560 (1996).

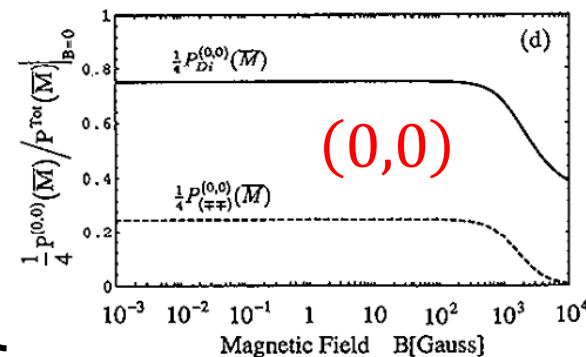
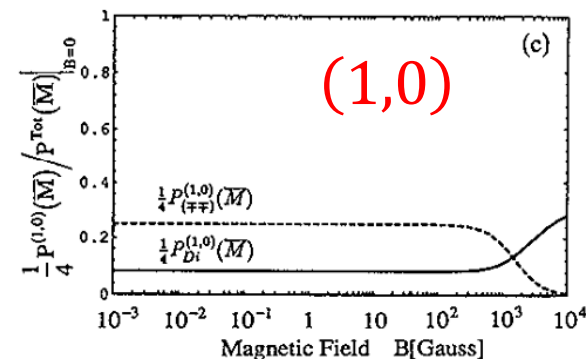
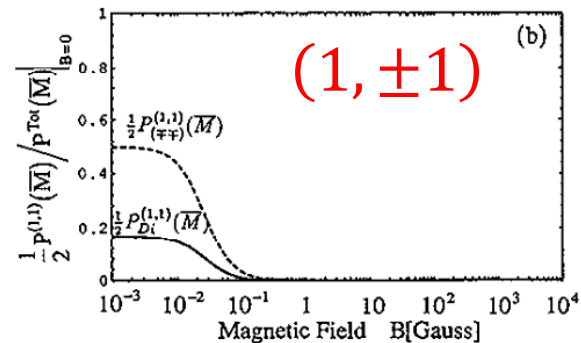
10^4 Gauss = 1 Tesla

Total



$(1, \pm 1)$ contribution vanishes.

$(1,0)$ & $(0,0)$ mixes.



Muonium HyperFine Splitting

(arXiv:nucl-ex/0210022)

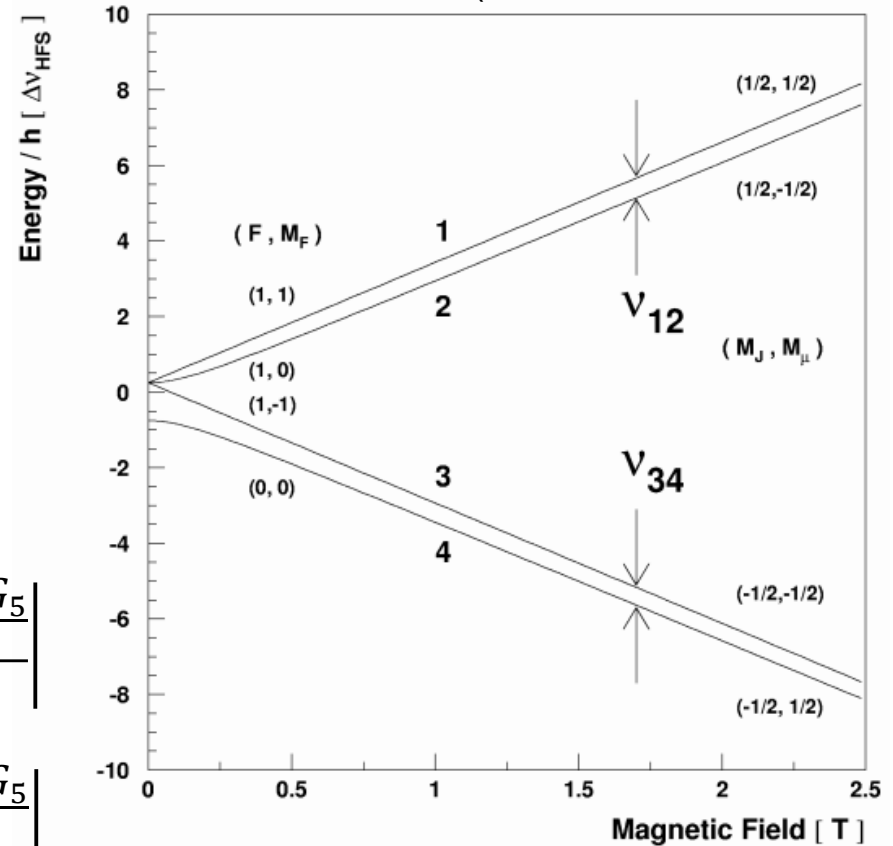
$$h\nu_{\text{HFS}} = h\nu_{12} + h\nu_{34}$$

$$h\nu_{12} = \frac{a}{2} \left(1 + Y - \sqrt{1 + X^2} \right)$$

$$h\nu_{34} = \frac{a}{2} \left(1 - Y + \sqrt{1 + X^2} \right)$$

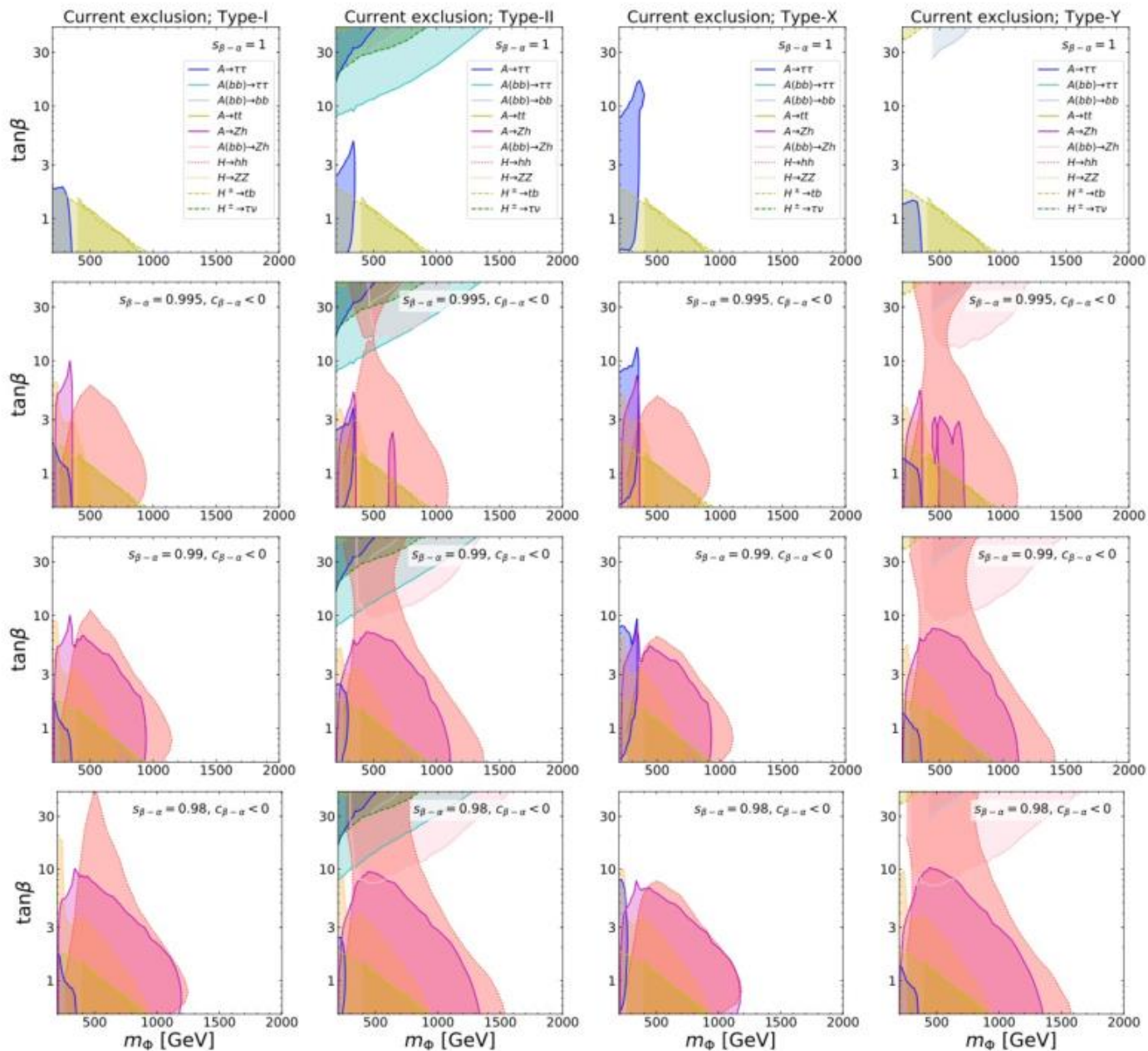
$$h\Delta\nu_{12} = \pm \frac{8m_{\text{red}}^3 \alpha^3}{\sqrt{2}\pi} \left| G_3 + \frac{G_1 + G_2 - \frac{G_3}{2} - \frac{G_4 + G_5}{4}}{\sqrt{1 + X^2}} \right|$$

$$h\Delta\nu_{34} = \pm \frac{8m_{\text{red}}^3 \alpha^3}{\sqrt{2}\pi} \left| G_3 - \frac{G_1 + G_2 - \frac{G_3}{2} - \frac{G_4 + G_5}{4}}{\sqrt{1 + X^2}} \right|$$



1 Hz 程度の精度で $B = 0$ と $B \neq 0$ における splitting を調べられれば
Mu-Mubar との cross check が可能

参考：2HDMの実験の制限



2HDM スカラーポテンシャル

~~—————~~ Liu-Guで禁止

————— Zee-Babuで禁止

$$\begin{aligned}
 V = & m_1^2 \Phi_1^\dagger \Phi_1 + m_2^2 \Phi_2^\dagger \Phi_2 - \del{m_3^2 (\Phi_1^\dagger \Phi_2 + \text{H. c.})} \\
 & + \frac{\lambda_1}{2} (\Phi_1^\dagger \Phi_1)^2 + \frac{\lambda_2}{2} (\Phi_2^\dagger \Phi_2)^2 + \lambda_3 \Phi_1^\dagger \Phi_1 \Phi_2^\dagger \Phi_2 \\
 & + \lambda_4 \Phi_1^\dagger \Phi_2 \Phi_2^\dagger \Phi_1 + \frac{\lambda_5}{2} ((\Phi_1^\dagger \Phi_2)^2 + \text{H. c.}) \\
 & + (m_h'^2 + \lambda_{h\Phi_1} \Phi_1^\dagger \Phi_1 + \lambda_{h\Phi_2} \Phi_2^\dagger \Phi_2) |h^+|^2 \\
 & + (m_k'^2 + \lambda_{k\Phi_1} \Phi_1^\dagger \Phi_1 + \lambda_{k\Phi_2} \Phi_2^\dagger \Phi_2) |k^{++}|^2 \\
 & + \lambda_h |h^+|^4 + \lambda_k |k^{++}|^4 + \lambda_{hk} |h^+|^2 |k^{++}|^2 \\
 & + \del{(\lambda_{hk\Phi\Phi} h^- k^{++} \Phi_1 \Phi_2 + \text{H. c.})} \\
 & + (m_{hhk} h^- h^- k^{++} + \del{m_{\Phi\Phi h} \Phi_1 \Phi_2 h^+} + \text{H. c.})
 \end{aligned}$$